

دراسة السلوك الكهروكيميائي للكيتوبروفن

على مسرى الذهب

صفاء اسماعيل*, ديب باكير**, ريم طليمات**

ملخص البحث

تم في هذا البحث دراسة السلوك الكهروكيميائي لمادة الكيتوبروفن على مسرى الذهب. بالاعتماد على الطريقة الفولوتومترية الحلقية في عدة أوساط كهربائية مختلفة. وتبيّن أن عملية ارجاع المركب المذكور تحدّد بالحركية الانتشارية وأن قيمة تيار القمة تزداد خطياً مع زيادة تركيز المادة المتفاعلة. ومن حيث آلية التفاعل فقد تبيّن أن عملية الارجاع الكهروكيميائي للكيتوبروفن تتم بمرحلة واحدة في الوسط الفلوي بينما تتم على مرحلتين في الوسط المعتمد.

كلمات مفتاحية: السلوك الكهروكيميائي، البورلاروغرافيا، الارجاع الكهروكيميائي، مسرى الذهب، الكيتوبروفن.

* طالبة دكتوراه كيمياء فизيائية في قسم الكيمياء - كلية العلوم - جامعة البعث. حمص- سوريا.

**) أستاذ الكيمياء الفيزيائية (الكهربائية) في قسم الكيمياء - كلية العلوم- جامعة البعث. حمص- سوريا.

***) أستاذ مساعد اختصاص الكيمياء الفيزيائية في قسم الكيمياء - كلية العلوم- جامعة البعث. حمص- سوريا.

Electrochemical behavior of Ketoprofen on gold electrode

Safaa Ismaeel*, Deeb Baker**, Reem Tulaimat***

Abstract

In this research, the electrochemical behavior of Ketoprofen has been studied on gold electrod. Based on the cyclic voltometric method in several different electrolytes.

The results showed that the reduction process of Ketoprofen is controled by diffusion kinetic, and the current value increasing linearly by increasing reactant material.

The reaction mechanisem showed the electrochemical reduction process of ketoprofen occures in one satge in alkalin, while it takes tow satages in nutral medium.

Keywords: Electrochemical behavior, polarography, electrochemical reduction, gold electrode, Ketoprofen.

*) PHD student, Department of chemistry-Faculty of science-Albaath university Homs-Syria.

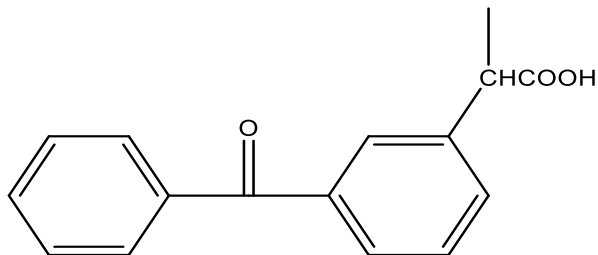
**) professor of Physical chemistry, Department of chemistry-Faculty of science-AlBaath university Homs-Syria.

***) doctor of Physical chemistry, Department of chemistry-Faculty of science-AlBaath university Hom s-Syria.

١- مقدمة:

بعد الكيتوبروفن من أشهر الأدوية المسكنة للألم والمضادة لارتفاع الحرارة، لذلك فقد شاع استخدام هذه الأدوية بصورة كبيرة ومتكررة. وهذا دفع العديد من الباحثين لدراسة خصائصها المختلفة وطريق تحليلها وتطوير هذه الطرائق [2,1].

يبين الشكل التالي الصيغة الكيميائية للكيتوبروفن.

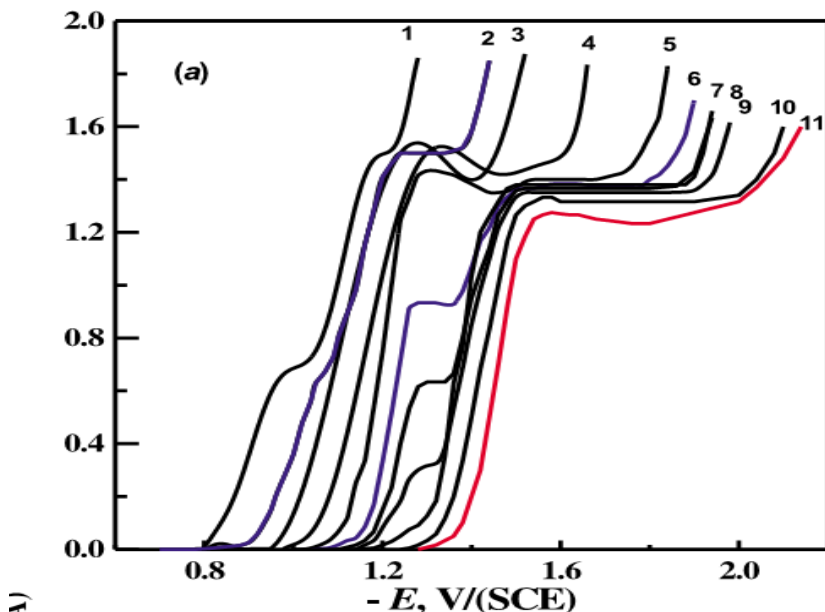


الشكل (١) الصيغة الكيميائية للكيتوبروفن

لأجأ الكيميائيين إلى تحديد الكيتوبروفن في العديد من المستحضرات الصيدلانية سواءً لوحده أو ضمن عينات حيوية مستخدمين عدة طرائق مثل الطيفية وطريقة الكروموتوغرافيا السائلة التي تتطلب الكثير من الوقت، لذا توجهت الأنظار إلى استخدام تقنيات التحليل الكهربائي التي تميزت بحساسيتها العالية بالإضافة إلى أنها لا تحتاج إلى زمن طويل وأقل كلفة مقارنة بالطرق الأخرى [4,3].

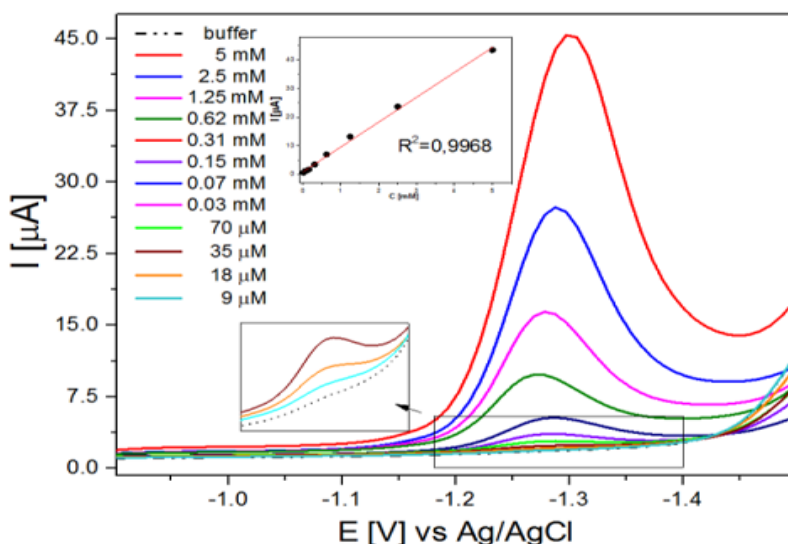
تعد الطرائق الكهربكميائية من أهم طرائق التحليل وذلك لدققتها العالية وفعاليتها الكبيرة في تحديد مادة كيميائية ضمن مزيج كبير من المواد المختلفة وهو ما يعرف بانتقائية الطريقة التحليلية [6,5].

درس السلوك الكهربكميائي للكيتوبروفن باستخدام مسوى الزئبق القطران وبالاعتماد على طريقة بولاروغرافيا التيار المستمر عند قيم مختلفة لـ (pH) ويظهر الشكل التالي البولاروغرام الناتج [7]:



الشكل (٢) انزياح القمة البولاروغرافية العائنة لأكسدة الكيتوبروفن نتيجة تغير (pH)

كذلك درس السلوك الكهروكيميائي للكيتوبروفن باستخدام مسرى الكربون الزجاجي وباعتماد البولاروغرافيا النبضية التفاضلية ويظهر الشكل التالي البولاروغرام الناتج [8].



الشكل (٣) بولاروغرام ارجاع الكيتوبروفن على مسرى الكربون الزجاجي باطريقة DPV

٢- أهمية وهدف البحث:

يستمد البحث أهميته من استخدام طريقة كهركيميائية لدراسة حرکية تفاعل ارجاع الكيتوبروفن، اضافة لبحث امكانية التحديد الكمي والكيفي لهذ المركب.

٢- الجزء العلمي:

١-٣- التجهيزات والأدوات المستخدمة:

استخدم في إنجاز هذا العمل محطة فولت أمبيرومترية هي جهاز (AMEL433) إنتاج شركة (AMEL instruments) الإيطالية موديل يعمل على مسرى الزئبق بالإضافة إلى مجموعة من المساري الخارجية الصلبة مثل الذهب، وكان المسرى المقارن فضة/كلوريد الفضة (Ag/AgCl).

ويمكن استخدام العديد من التطبيقات: polarography, voltammetry, stripping تمكنا المحطة من رسم المخطط البولاروغرافي الكلاسيكي (DC)، والتبعي العادي (NPP) و التبعي التفاضلي (DPP) وتسمح برسم المنحني الفولت أمبيرومترى الحلقى Cyclic Voltammetry. ومن خلال نظام العمل يمكن وضع البارامترات المختلفة مثل كمون بداية وكمون نهاية المنحني الفولت أمبيرومترى وسرعة المسح وزمن القرفة، اضافة الى تحديد كمونات القمة المرافقة للعمليات المسروبة وارتفاعاتها.

٢-٣- المواد الكيميائية المستخدمة:

كيتوبروفن نقاوته 99.9% من شركة Sigma Aldrich .
KCl نقاوته 99.5% من شركة BATCH
.NaOH نقاوته 99.9% من شركة BATCH

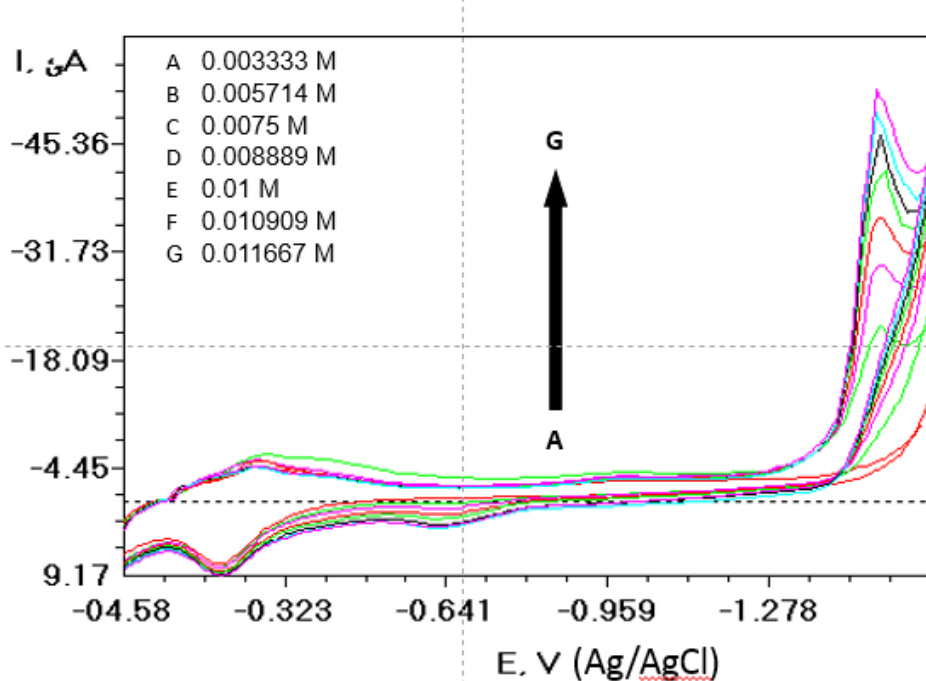
٣-٣- طريقة العمل:

أولاً- دراسة السلوك الكهركيميائي للكيتوبروفن في الوسط القلوي:

تمت دراسة السلوك الكهركيميائي للكيتوبروفن بوجود مادة NaOH بتركيز (0.5 M) ككهربليت داعم وباستخدام المحطة الفولت أمبيرومترية على مسرى الذهب معتمدين الطريقة الفوللتومترية الحلقية. حضرت عينات بتراكيز مختلفة من الكيتوبروفن.

حددت البارامترات التالية: كمون بداية (0 mV) وكمون نهاية (1600 mV-) وسرعة مسح (50 mv/s) وتم التخلص من الأكسجين المنحل بقرفة محلول بغاز الأزوت

النقي لمدة (15) دقيقة. وبعد اضافة العينات الى الخلية البولاروغرافية وتطبيق البرنامج المناسب (الطريقة الفولتمترية الحلقية)، تم الحصول على البولاروغرام الموضح بالشكل (4):



الشكل (4) المنحنيات الفولتمترية الحلقية للكيتوبروفن على مسرى الذهب بتراكيز مختلفة في الوسط القلوي ($\text{NaOH } 0.5\text{M}$)

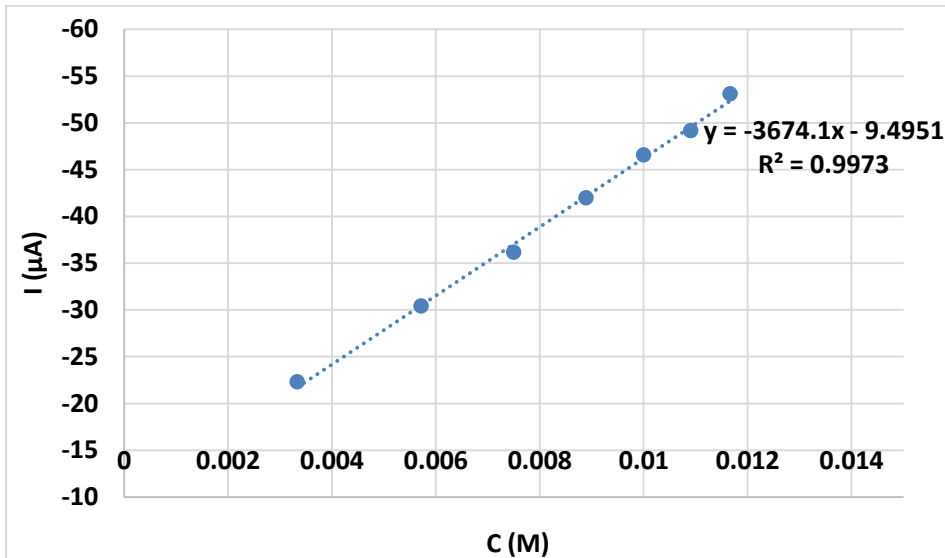
ويبيّن الجدول التالي شدة القمة البولاروغرافية والتركيز العائد لكل منحني:

الجدول (1) شدة تيار قمة ارجاع الكيتوبروفن عند تراكيز مختلفة على مسرى الذهب في الوسط القلوي ($\text{NaOH } 0.5\text{M}$) بوجود المسرى المقارن (Ag/AgCl)

$I(\mu\text{A})$	$C (\text{M})$
-22.29	0.003333
-30.41	0.005714
-36.16	0.0075
-41.95	0.008889
-46.54	0.01

-49.16	0.010909
-53.1	0.011667

ويلاحظ ازدياد تيار الاشارة البولاروغرافية بزيادة تركيز الكيتوبروفن، ويرسم العلاقة بين شدة القمة البولاروغرافية والتركيز نحصل على الشكل التالي:

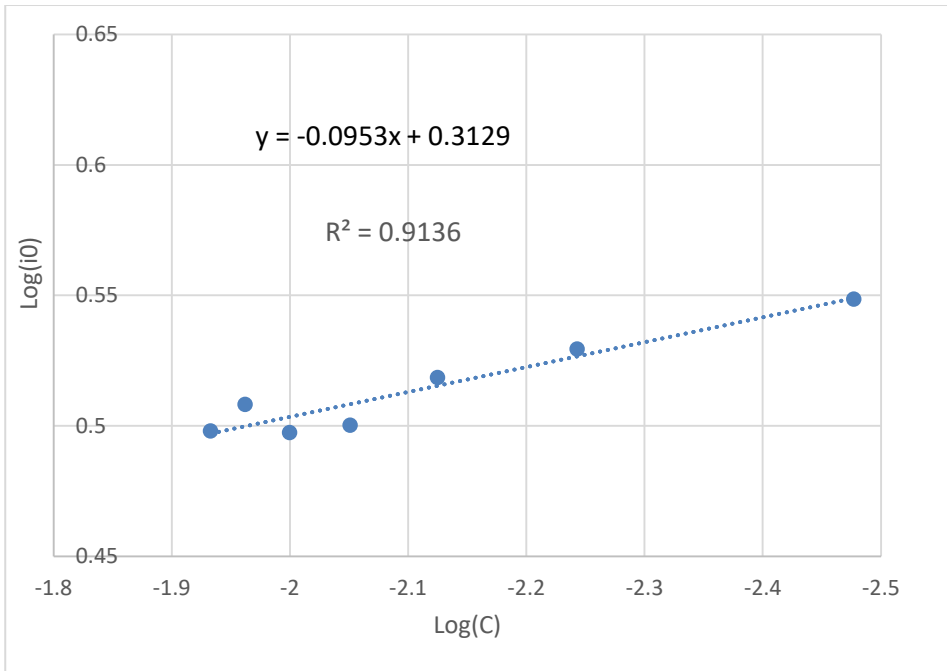


الشكل (5) العلاقة بين شدة التيار وتركيز الكيتوبروفن

يمثل الشكل (5) العلاقة الخطية بين تيار القمة وتركيز الكيتوبروفن وبلغ معامل الارتباط ($R^2=0.9973$) وكانت معادلة الخط البياني ($y=-3674.1X-9.4951$)، يلاحظ من هذه المعادلة أن قيمة ميل الخط المستقيم مرتفعة جداً مما يدل على قدرة هذه التقنية على التحسس والاستجابة لتركيز منخفضة جداً.

ولحساب عدد الالكترونات الكلية المتبادل خلال عملية الارجاع الكهروكيميائية قمنا بداية بتحديد قيمة (α) كما هو وارد في المرجع [9].

ويظهر الشكل التالي العلاقة بين $(\log(i_0))$ و $(\log(C))$:

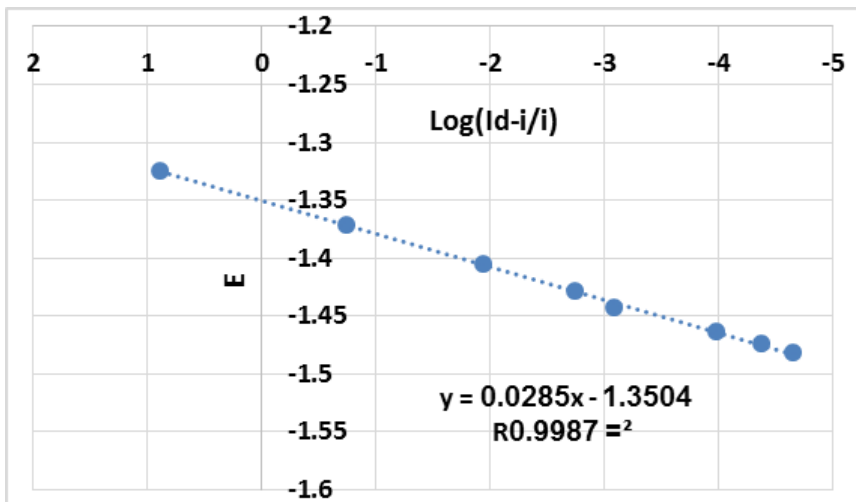


الشكل (6) العلاقة بين $\log(C)$ و $\log(i_0)$ ليولاروغرام ارجاع الكيتوبروفن باستخدام مسرى الذهب في الوسط القلوي وبوجود المسرى المقارن (Ag/AgCl)

وهي معادلة خط مستقيم ميله $(m=-0.0953)$.

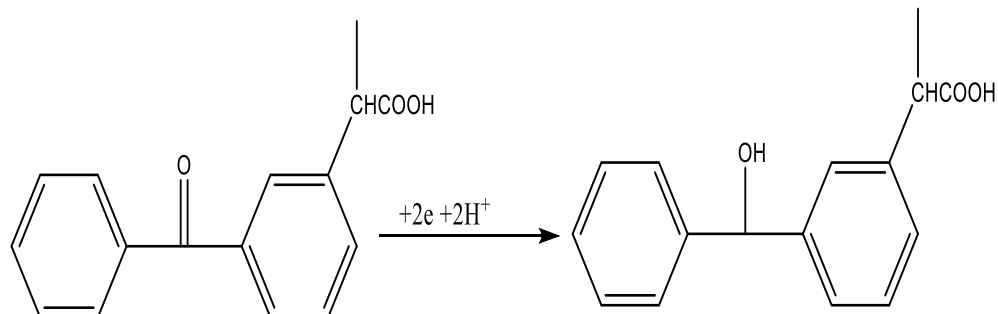
وباستنتاج قيمة α تبين أنها تساوي (1.0953) وهي قريبة جدا من (1) .

ويحسب عدد الالكترونات باستخدام المنحني البياني بين (E) و $\log((I_d-i)/i)$ لأحد المنحنيات البولاروغرافية.



الشكل (7) العلاقة بين (E) و ($\text{log}(\text{Id}-\text{i})/\text{i}$) لبوليروغرام ارجاع الكيتوبروفن باستخدام مسرى الذهب في الوسط القلوي وبوجود المسرى المقارن (Ag/AgCl)

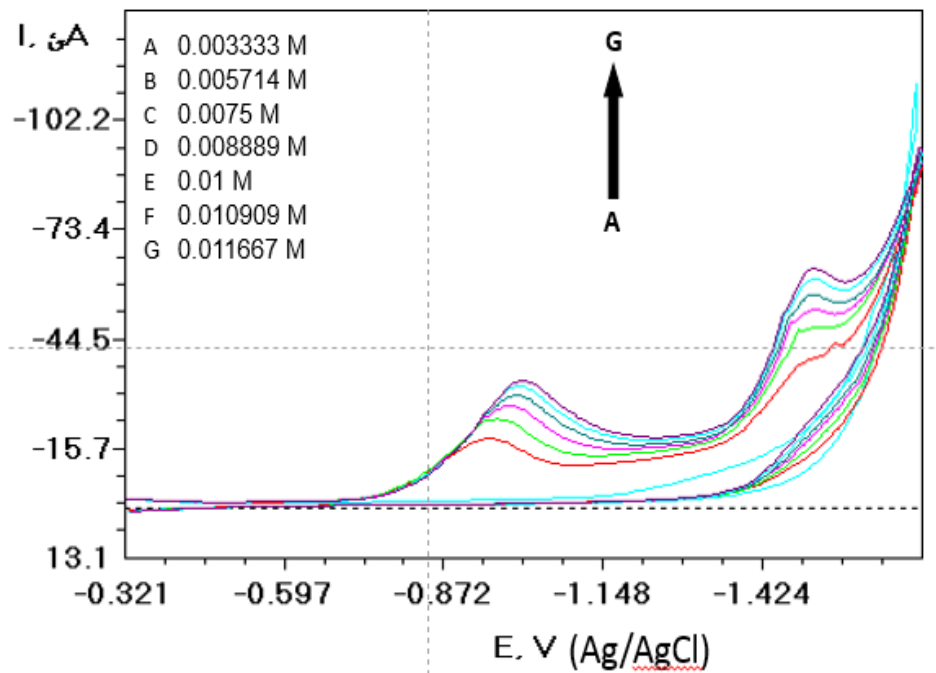
نلاحظ أن ميل المستقيم $m=0.0285$ وبالاعتماد على العلاقة ($m=0.059/\alpha n$), نجد أن $n=2$, أي عدد الالكترونات الكلي يساوي $2e$ والآلية المقترحة لهذا التفاعل تبينها المعادلة الكيميائية التالية:



ثانياً- دراسة السلوك الكهركميائي للكيتوبروفن في الوسط المعتمد:

تمت دراسة السلوك الكهركميائي للكيتوبروفن بوجود مادة KCl بتركيز (0.5 M) ككهربليت داعم وباستخدام المحطة الفولت أمبيرومترية على مسرى الذهب معتمدين الطريقة الفولتومترية الحلقية. حضرت عينات بتراكيز مختلفة من الكيتوبروفن

حددت الباراتمترات التالية: كمون بداية (0 mV) وكمون نهاية (-1600 mV) وسرعة مسح (50 mv/s) وتم التخلص من الأكسجين المنحل بقرفة المحلول بغاز الأزوت النقي لمدة (15) دقيقة. وبعد اضافة العينات الى الخلية البولاروغرافية وتطبيق البرنامج المناسب (الطريقة الفولتومترية الحلقية)، تم الحصول على البولاروغرام الموضح بالشكل (8):



الشكل (8) المنحنيات الفولتومترية الحلقية للكيتوبروفن على مسرى الذهب بتراكيز مختلفة في الوسط المعتمل بوجود كهرليت داعم (KCl 0.5M).

يلاحظ من البولاروغرام السابق أن عملية الارجاع تتم على مرحلتين.
ويبيّن الجدول التالي شدة القمة البولاروغرافية والتركيز العائد لكل منحني:

الجدول (٢) شدة تيارات قمم ارجاع الكيتوبروفن (I_1, I_2) عند تراكيز مختلفة على مسرى الذهب بوجود كهرليت داعم (KCl 0.5M) بوجود المسرى المقارن (Ag/AgCl)

$I_1(\mu\text{A})$	$I_2(\mu\text{A})$	C (M)
-19.01	-38.02	0.003333
-23.6	-47.2	0.005714

-27.53	-52.44	0.0075
-30.15	-57.03	0.008889
-32.77	-60.31	0.01
-34.09	-64.24	0.010909
-35.4	-66.21	0.011667

حيث (I_2, I_1) التيارات العائدية للفمة البولاروغرافية الأولى والثانية على الترتيب

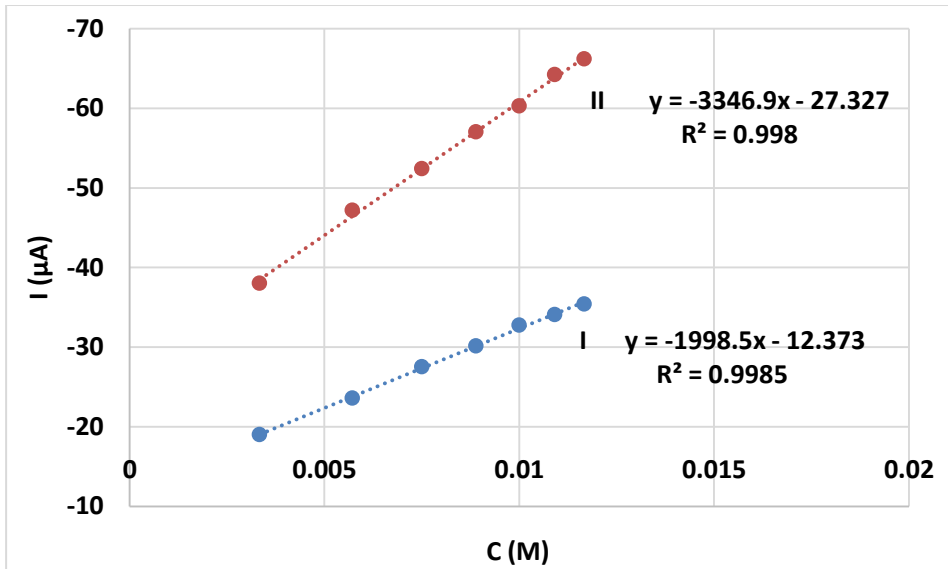
ويلاحظ ازدياد تيار الاشارة البولاروغرافية بزيادة تركيز الكيتوبروفون، وبرسم العلاقة بين شدة القمة البولاروغرافية والتركيز نحصل على الشكل (9).

يلاحظ من الشكل (9) أن العلاقة خطية بين التركيز وشدة التيار لكلا القمتين حيث يبلغ معامل الارتباط في حالة القمة الأولى $(R^2=0.9985)$ بينما يكون $(R^2=0.998)$ في حالة القمة الثانية وتكون معادلة الخطوط البيانية في كل منها:

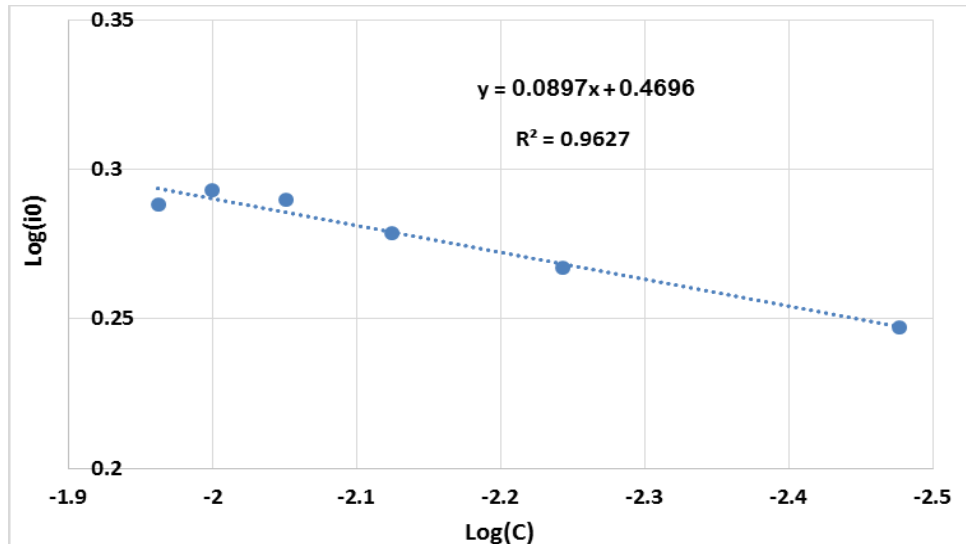
$$(y_2 = -3346.9X - 27.327), (y_1 = -1998.5X - 12373)$$

وكما هو ملاحظ فإن ميل الخط البياني الثاني (العائد للفمة البولاروغرافية الثانية) أكبر وبالتالي يفضل استخدامه للعمليات التحليلية لأنه يعطي حساسية أكبر.

وكما ذكرنا سابقاً فإنه لحساب عدد الالكترونيات الكلى المتبدل خلال عملية الارجاع الكهروكيميائية سنقوم بداية بتحديد قيمة (α) ، وهنا سيتم تحديد (α) لكل قمة ويحسب عدد الكتروناتها. وبرسم العلاقة بين $(\log(i_0))$ و $(\log(C))$ للفمة البولاروغرافية الأولى يظهر الشكل (10):



الشكل (٩) العلاقة بين شدة التيار وتركيز الكيتوبروفن (I بالنسبة للقمة الأولى، II بالنسبة للقمة الثانية)

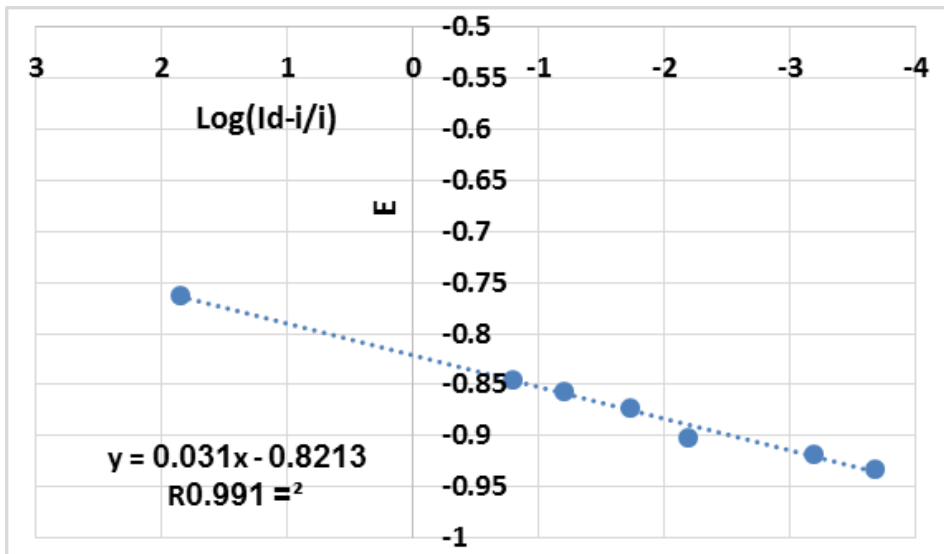


الشكل (١٠) العلاقة بين $\log(C)$ و $\log(i_0)$ لبوليروغرام ارجاع الكيتوبروفن (المرحلة الأولى) باستخدام مسرى الذهب في الوسط المعادل وبوجود المسرى المقارن (Ag/AgCl)

وهي معادلة خط مستقيم ميله ($m=0.0897$).

وباستنتاج قيمة α تبين ($\alpha=0.9103$) وهي قريبة جدا من (١).

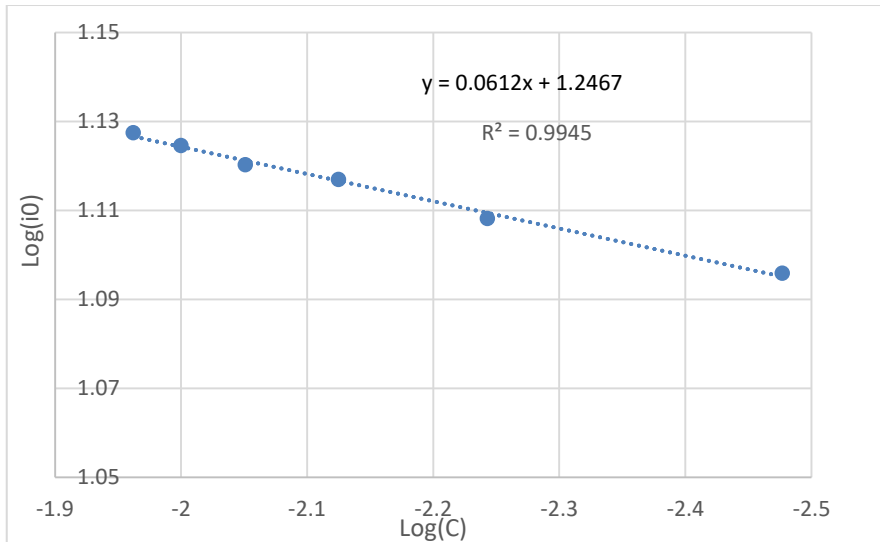
ويحسب عدد الالكترونات باستخدام المنحنى البياني بين (E) و $\log((Id-i)/i)$ لأحد المنحنيات البولاروغرافية.



الشكل (11) العلاقة بين (E) و $\log((Id-i)/i)$ لبوليروغرام ارجاع الكيتوبروفن (المرحلة الأولى) باستخدام مسرى الذهب في الوسط المعتمد وبوجود المسرى المقارن ($Ag/AgCl$)

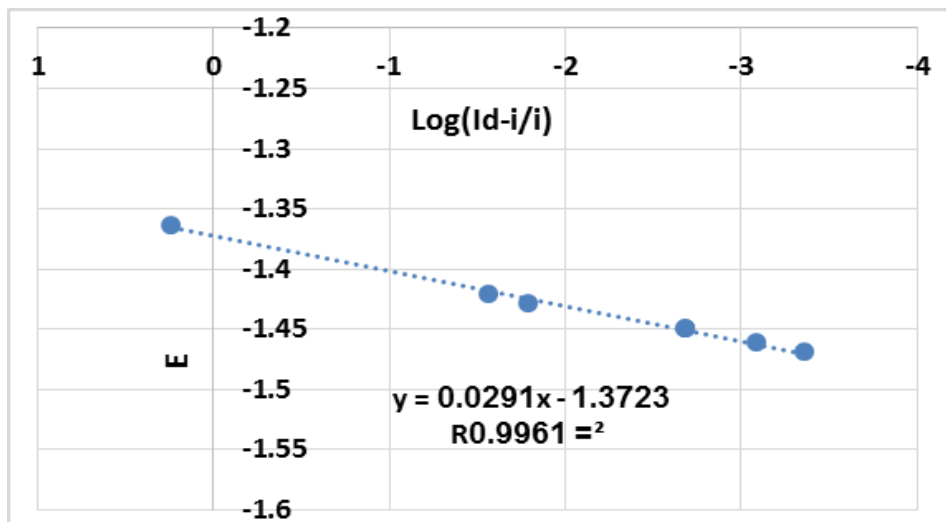
نلاحظ أن ميل المستقيم $m=0.031$ وبالاعتماد على العلاقة ($m=\alpha n$)، نجد أن $n=2$ ، أي عدد الالكترونات الكلي يساوي $2e$.

وبطريقة مشابهة نكرر الخطوات للقمة البولاروغرافية الثانية من خلال رسم العلاقة بين ($\log(i_0)$) و $(\log(C))$ الشكل (12) وباستنتاج قيمة α تبين ($\alpha=0.9388$) وهي قريبة جداً من (1).



الشكل (12) العلاقة بين $\log(i_0)$ و $\log(C)$ لبولاروغرام ارجاع الكيتوبروفن (المرحلة الثانية) باستخدام مسرى الذهب في الوسط المعتدل وبوجود المسرى المقارن (Ag/AgCl)

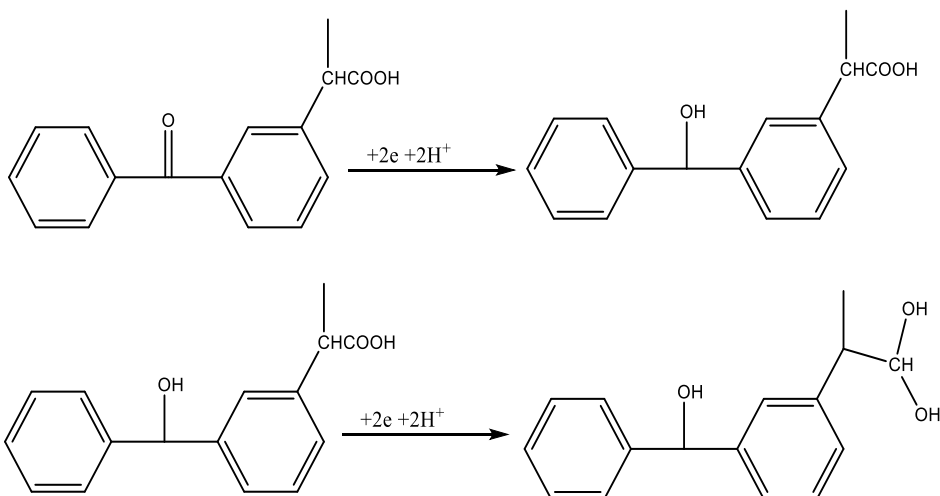
ويحسب عدد الالكترونات باستخدام المنحني البياني بين (E) و $\log((Id-i)/i)$ لأحد المنحنين البولاروغرافية.



الشكل (13) العلاقة بين (E) و $\log((Id-i)/i)$ لبولاروغرام ارجاع الكيتوبروفن (المرحلة الثانية) باستخدام مسرى الذهب في الوسط المعتدل وبوجود المسرى المقارن (Ag/AgCl)

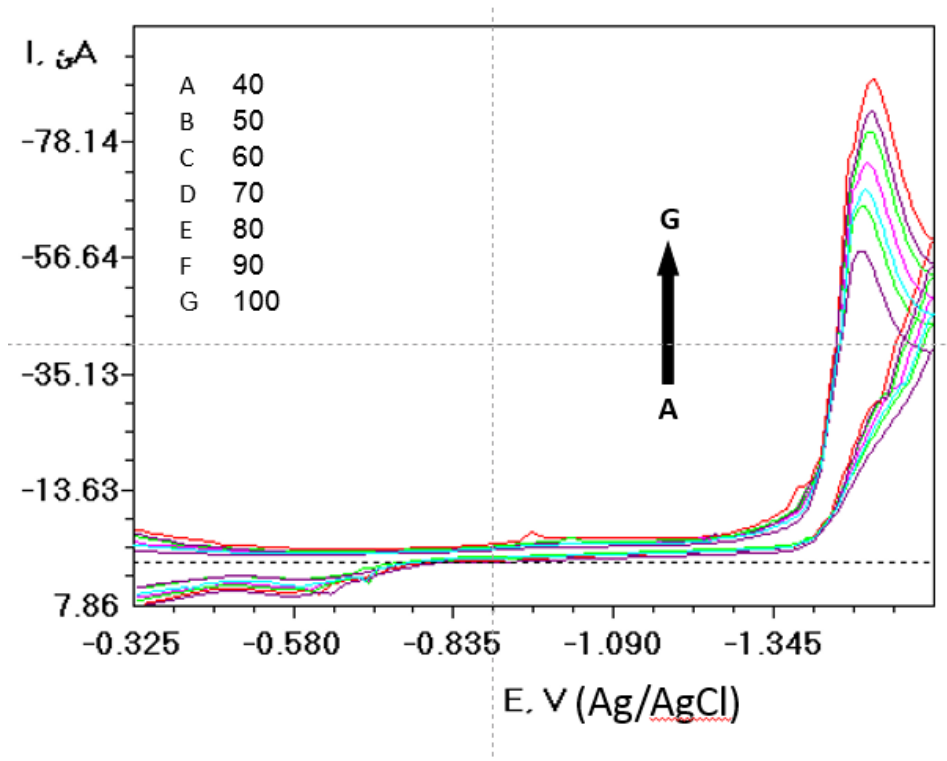
نلاحظ أن ميل المستقيم $m=0.0291$ وبالاعتماد على العلاقة ($m=\alpha n$)، نجد أن $n=2$ ، أي عدد الالكترونات الكلي يساوي $2e$.

وبذلك يمكننا كتابة آلية التفاعل الكهروكيميائي الحاصل كمايلي:



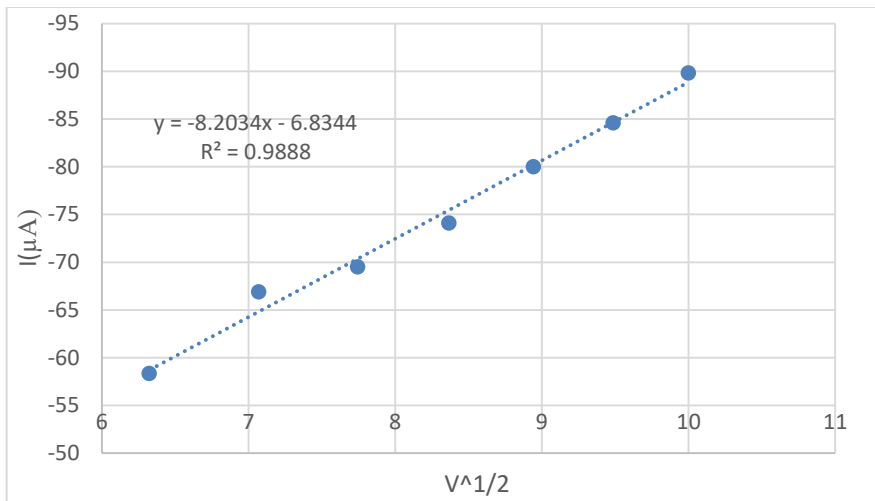
ثالثاً. الدراسة الحركية لعملية ارجاع مركب الكيتوبروفن:

حيث درس تأثير معدل المسح لعملية ارجاع الكيتوبروفن باستخدام الطريقة الفولتومترية الحلقيّة بتطبيق سرع مختلفة في الوسط القلوي فحصلنا على المخطط التالي:



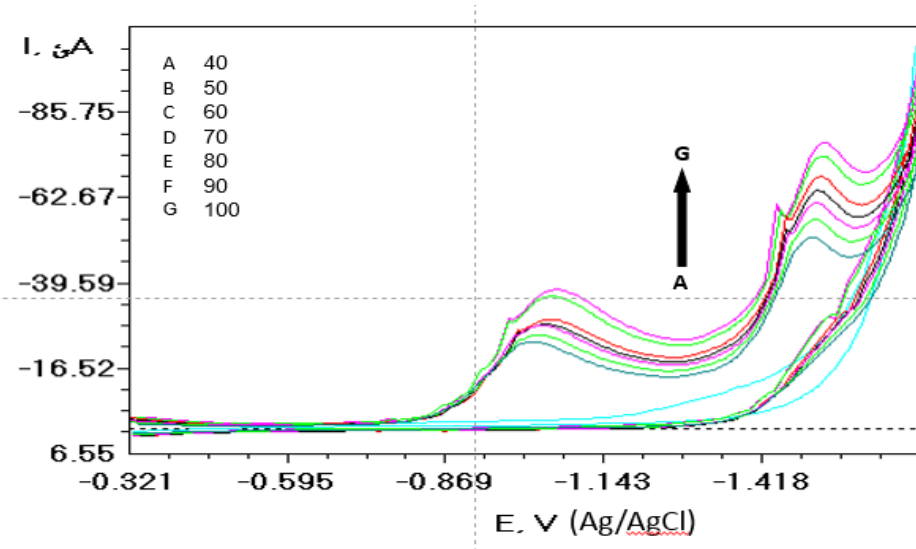
الشكل (14) المنحنيات الفولتمترية الحلقية الناتجة عن تغير سرعة المسح للكيتوبروفن بوسط قلوي ($\text{NaOH}, 0.5 \text{ M}$).

وتم رسم العلاقة بين جذر السرعة المطبقة والتيارات الموافقة والنتيجة بينها المخطط البياني التالي:



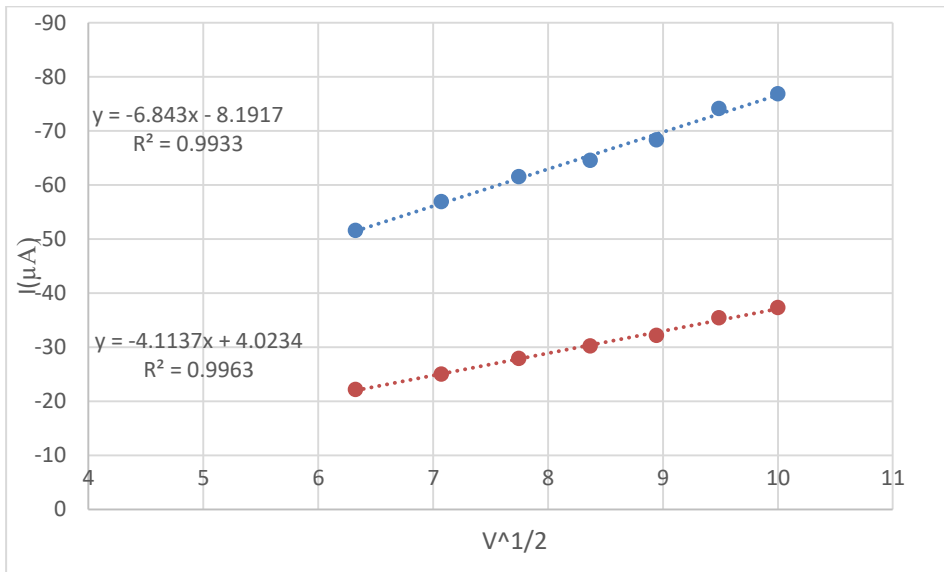
الشكل (15) العلاقة بين شدة التيار والجذر التربيعي لسرعة المسح

أما في الوسط المعتمد فتظهر المنحنيات البولاروغرافية عند سرع مسح مختلفة كما في الشكل التالي:



الشكل (16) المنحنيات الفولتمترية الحلقة الناتجة عن تغير سرعة المسح للكيتوبروفن بوسط معتمد (KCl, 0.5 M).

فقد رسمنا العلاقة بين الجذر التربيعي لسرعة المسح مع تيار كلا القمتيين ويشير الخط البياني التالي:



الشكل (17) العلاقة بين شدة تيار قم الارجاع للكيتوبروفن (I,II) والجذر التربيعي لسرعة المسح

وكلما نلاحظ فانه في جميع الحالات المدروسة كانت العلاقة خطية بين تيار القمة والبوليغرافية والجذر التربيعي لسرعة وبالتالي فإن حركة انتقال جزيئات الكيتوبروفن إلى سطح المسرى هي حركية انتشارية.

الخلاصة والاستنتاجات:

- تم في هذا البحث دراسة السلوك الكهربائي للكيتوبروفن على مسرى الذهب في الأوساط المعتدلة والقلوية.
- تتم عملية الارجاع بمرحلة واحدة في الوسط الفلوي يتم خلالها تبادل الكتروني.
- تتم عملية الارجاع في الوسط المعتدل على مرحلتين بعدداجمالى من الالكترونات المتباينة يساوى أربعة الكترونات.
- تخضع عملية الارجاع في كل من الاوساط المذكورة الى الحركية الانتشارية.

المراجع:

- 1- F.D. Hart. Rheumatic disorders. In Drug treatment: principles and practice of clinical pharmacology and therapeutics. Vol. 88. 2nd ed. Edited by G.S. Avery. ADIS Press, Sydney. 1980. p. 846.
- 2- Blanco, Marcelo, González, J. M., Torras, E., & Valverde, I. Enantiomeric purity determination of ketoprofen by capillary electrophoresis: development and validation of the method. *Analytical and Bioanalytical Chemistry*, (2003). 375(1), 157–163.
- 3- Domínguez, J. R., González, T., Palo, P., & SánchezMartín, J. Anodic oxidation of ketoprofen on boron-doped diamond (BDD) electrodes. Role of operative parameters. *Chemical Engineering Journal*, (2010). 162(3), 1012–1018.
- 4- Ghoneim, M. M., & Tawfik, A. Voltammetric studies and assay of the anti-inflammatory drug ketoprofen in pharmaceutical formulation and human plasma at a mercury electrode. *Canadian Journal of Chemistry*, (2003) 81(8), 889–896.
- 5- Molina-García, L., Santos, J. L. M., Ruiz-Medina, A., & Llorent-Martínez, E. J. Determination of ketoprofen based on its quenching effect in the fluorescence of quantum dots. *Journal of Food and Drug Analysis*, (2013) 21(4), 426–431.
- 6- Muthu, M., Latha, S., G.Bhaskar, R., & Yoshihara, S. Anodic oxidation of ketoprofen-An antiinflammatory drug using boron doped diamond and platinum electrodes. *Journal of Hazardous Materials*, (2010). 180, 753–758.
- 7- M.M. Ghoneim and A. Tawfik, Voltammetric studies and assay of the antiinflammatory drug ketoprofen in pharmaceutical formulation and human plasma at a mercury electrode, *Can. J. Chem.* 81: 889–896 (2003).
- 8- Cebula Z, Niedziałkowski P, Ossowski T. Electrochemical behavior and determination of ketoprofen at glassy--carbon electrode. *Applied Biosciences*. 2018 Oct 29;1(3):7-8.
- 9- BAKEER.D, Ibrahem.S, 2021, A study of the electrochemical reduction of Nemosolend in moderate media at glassy carbon Electrode, Publications of the al-baath University,43.

